

实验目的

生成和显示分段三次Bézier曲线、B样条曲线、旋转曲面（围绕y轴的xy平面上的曲线）和广义圆柱面。

曲线绘制

为表示曲线和局部坐标系，需计算一个点坐标V和三个向量坐标T、N、B。

Bézier曲线的表示式如下。

$\gamma(t) = \mathbf{GMT}(t)$ (22.6)

后面将介绍的所有曲线都具有如式(22.6)的构造形式，即包含一个几何矩阵 \mathbf{G} (通常包括四个点而不是两个点和两个向量)、一个基矩阵 \mathbf{M} (列出各相关多项式的系数) 和向量 $\mathbf{T}(t)$ ，不同类型曲线间的区别在于几何矩阵所含内容不同、基矩阵对应的多项式不同。

22.3.1 Bézier 曲线

本小节介绍第二种曲线类型：Bézier 曲线。它由四个点 P_1, \dots, P_4 确定，曲线起点为 P_1 ，终点为 P_4 ，曲线在起点处的方向向量为 $3(P_2 - P_1)$ ，终点处的方向向量为 $3(P_4 - P_3)$ ，如图 22-3 所示。

Bézier 曲线表示为

$$\gamma(t) = [P_1; P_2; P_3; P_4] \begin{bmatrix} 1 & -3 & 3 & -1 \\ 0 & 3 & -6 & 3 \\ 0 & 0 & 3 & -3 \\ 0 & 0 & 0 & 1 \end{bmatrix} \mathbf{T}(t) \quad (22.7)$$

式中几何矩阵包含的是四个点，基矩阵中的系数也与 Hermite 曲线不一样。

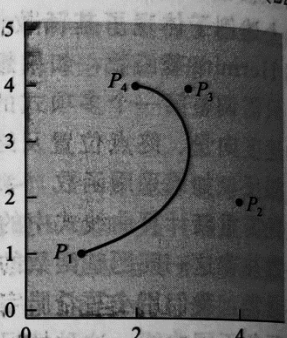


图 22-3 一条 Bézier 曲线图例，起点为 P_1 ，该点处切向量沿 P_1P_2 方向，终点为 P_4 ，该点处切向量沿 P_3P_4 方向

求V对t的导数，可以得到法向量T。

$$P(t)' = [P_1, P_2, P_3, P_4] \cdot \begin{bmatrix} 1 & -3 & 3 & -1 \\ 0 & 3 & -6 & 3 \\ 0 & 0 & 3 & -3 \\ 0 & 0 & 0 & 1 \end{bmatrix} \cdot \begin{bmatrix} 0 \\ 1 \\ 2t \\ 3t^2 \end{bmatrix}$$

N和B不能简单地通过求导数计算得到；T'不一定垂直于T，乃至不一定存在。可以任选一个次法线方向 $B_0 = (0, 0, 1)$ ，通过下式迭代求出各点处的N和T：

$$N_i = \text{norm}(B_{i-1} \times T_i)$$

$$B_i = \text{norm}(T_i \times N_i)$$

式中norm表示求单位向量。

据此可以得到如下代码。

```
Curve evalBezier(const vector<Vector3f> &P, unsigned steps)
{
    if (P.size() < 4 || P.size() % 3 != 1)
    {
        cerr << "evalBezier must be called with 3n+1 control points." << endl;
        exit(0);
    }

    Curve R;
    Vector3f B(0, 0, 1);

    for (size_t i = 0, numCurves = (P.size() - 1) / 3; i < numCurves; ++i)
        for (unsigned j = 0; j <= steps; ++j)
        {
            float t = float(j) / steps, t2 = t * t, t3 = t2 * t;

            Vector3f V = (1 - 3 * t + 3 * t2 - t3) * P[i * 3] +
                (3 * t - 6 * t2 + 3 * t3) * P[i * 3 + 1] +
                (3 * t2 - 3 * t3) * P[i * 3 + 2] +
                t3 * P[i * 3 + 3],

                T = ((-3 + 6 * t - 3 * t2) * P[i * 3] +
                    (3 - 12 * t + 9 * t2) * P[i * 3 + 1] +
                    (6 * t - 9 * t2) * P[i * 3 + 2] +
                    3 * t2 * P[i * 3 + 3])
                    .normalized(),

                N = Vector3f::cross(B, T).normalized();

            B = Vector3f::cross(T, N);

            R.push_back({V, T, N, B});
        }

    return fixClosed(R);
}
```

其中fixClosed用来解决闭合曲线首尾法向量不一致的问题。记首尾法向量夹角为 θ ，曲线一共有 n 个（包含首尾）采样点，只需令第 i 个点（从0起）旋转

$$\frac{\theta \cdot i}{n - 1}$$

```
Curve &fixClosed(Curve &c)
{
    // If curve is not closed or need not fixing, return it as is.
    if (!approx(c.front().V, c.back().V) || !approx(c.front().T, c.back().T) ||
        approx(c.front().N, c.back().N))
        return c;

    float t = acos(Vector3f::dot(c.front().N, c.back().N)) / (c.size() - 1);
    for (size_t i = 0; i < c.size(); i++)
    {
        c[i].N = cos(t * i) * c[i].N - sin(t * i) * c[i].B;
        c[i].B = Vector3f::cross(c[i].T, c[i].N);
    }

    return c;
}
```

由下面的公式, 仿照上面做法, 三次B样条曲线也可以轻松完成。

22.5 三次 B 样条

三次 B 样条(还有线性、二次、四次 B 样条等, 但三次 B 样条是最常用的)与 Catmull-Rom 样条类似, 但二者又存在两个重要的差异: 三次 B 样条是 C^2 连续的, 即它的一阶和二阶导数都是连续函数; 三次 B 样条不是插值型样条, 它通常靠近但不通过控制点。

三次 B 样条有两种形式, 即均匀和非均匀, 我们首先介绍均匀 B 样条。控制顶点为 P_0, \dots, P_n 的三次 B 样条的表达式为

$$\gamma(t) = \sum_{i=0}^n P_i b_3(t-i) \quad (22.17)$$

其中

$$b_3(t) = \begin{cases} \frac{1}{6}t^3 & 0 \leq t \leq 1 \\ \frac{1}{6}(-3(t-1)^3 + 3(t-1)^2 + 3(t-1) + 1) & 1 \leq t \leq 2 \\ \frac{1}{6}(3(t-2)^3 - 6(t-2)^2 + 4) & 2 \leq t \leq 3 \\ \frac{1}{6}(-(t-3)^3 + 3(t-3)^2 - 3(t-3) + 1) & 3 \leq t \leq 4 \\ 0 & \text{其他} \end{cases} \quad (22.18)$$

曲线 γ 的定义域为 $0 \leq t \leq n-2$ 。由于函数 b_3 的构造方式, 当 $j \leq t \leq j+1$ 时, $\gamma(t)$ 落在由四个控制点 P_j, \dots, P_{j+3} 形成的凸包内, 即凸包性(convex hull property)。这一性质在光线与 B 样条曲线求交时十分有用, 若光线与由四个连续控制点形成的凸包不相交, 则与该四个控制点确定的 B 样条曲线段也不会相交。因此只有当光线与凸包有交时, 才需进一步进行与曲线的求交计算, 具体细节可参考相关的网络资源。

与 Bézier 曲线和 Hermite 曲线一样, B 样条曲线段也可以表示成矩阵形式, 从而提高计算效率。回顾 Bézier 和 Hermite 曲线的矩阵表示为

$$\gamma(t) = \mathbf{GMT}(t) \quad (22.19)$$

其中 $\mathbf{T}(t)$ 为 t 的幂向量 $[1 \ t \ t^2 \ t^3]^T$ 。由于一条 B 样条曲线由多个曲线段组成, 它们分别定义在 $0 \leq t \leq 1$ 、 $1 \leq t \leq 2$ 等各节点区间内, 我们以 $\mathbf{T}(t-j)$ 替换式(22.19)中的 $\mathbf{T}(t)$, 即取参数 t 的小数部分来定义第 j 个曲线段。

第 j 段曲线定义在 $j \leq t \leq j+1$ 区间, 由控制点 P_j, \dots, P_{j+3} 确定, 其几何矩阵为

$$\mathbf{G}_B = [P_j; P_{j-1}; P_{j-2}; P_{j-3}] \quad (22.20)$$

对平面曲线而言, \mathbf{G}_B 为 2×4 矩阵; 对空间曲线而言, \mathbf{G}_B 为 3×4 矩阵, 各列为相应控制点的坐标。将 \mathbf{G}_B 与 B 样条基矩阵(B-spline basis matrix) \mathbf{M}_{Bs} :

$$\frac{1}{6} \begin{bmatrix} 0 & 0 & 0 & 1 \\ 1 & 3 & 3 & -3 \\ 4 & 0 & -6 & 3 \\ 1 & -3 & 3 & -1 \end{bmatrix} \quad (22.21)$$

相乘, 则均匀 B 样条曲线表示为

$$\gamma(t) = \mathbf{G}_B \mathbf{M}_{Bs} \mathbf{T}(t-j) \quad (22.22)$$

这里 $j = \lfloor t \rfloor$, 因而 $t-j$ 是 t 的小数部分。

虽然 B 样条曲线不能插值各控制点, 但它具有较高阶的连续性, 这使得其为许多应用所青睐。如何权衡曲线形状的可控性(是否插值其控制点)和曲线的连续性(光滑程度), 是一个必须根据具体的应用情况加以考虑的问题。

代码与 Bézier 曲线大同小异。

```

Curve evalBspline(const vector<Vector3f> &P, unsigned steps)
{
    if (P.size() < 4)
    {
        cerr << "evalBspline must be called with 4 or more control points." << endl;
        exit(0);
    }

    Curve R;
    Vector3f B(0, 0, 1);

    for (size_t i = 0, numCurves = P.size() - 3; i < numCurves; ++i)
        for (unsigned j = 0; j <= steps; ++j)
        {
            float t = float(j) / steps, t2 = t * t, t3 = t2 * t;

            Vector3f V = (1.0f / 6.0f) * ((-t3 + 3 * t2 - 3 * t + 1) * P[i] +
                                           (3 * t3 - 6 * t2 + 4) * P[i + 1] +
                                           (-3 * t3 + 3 * t2 + 3 * t + 1) * P[i + 2] +
                                           t3 * P[i + 3]),

                T = ((-t2 + 2 * t - 1) * P[i] +
                    (3 * t2 - 4 * t) * P[i + 1] +
                    (-3 * t2 + 2 * t + 1) * P[i + 2] +
                    t2 * P[i + 3])
                    .normalized(),

                N = Vector3f::cross(B, T).normalized();

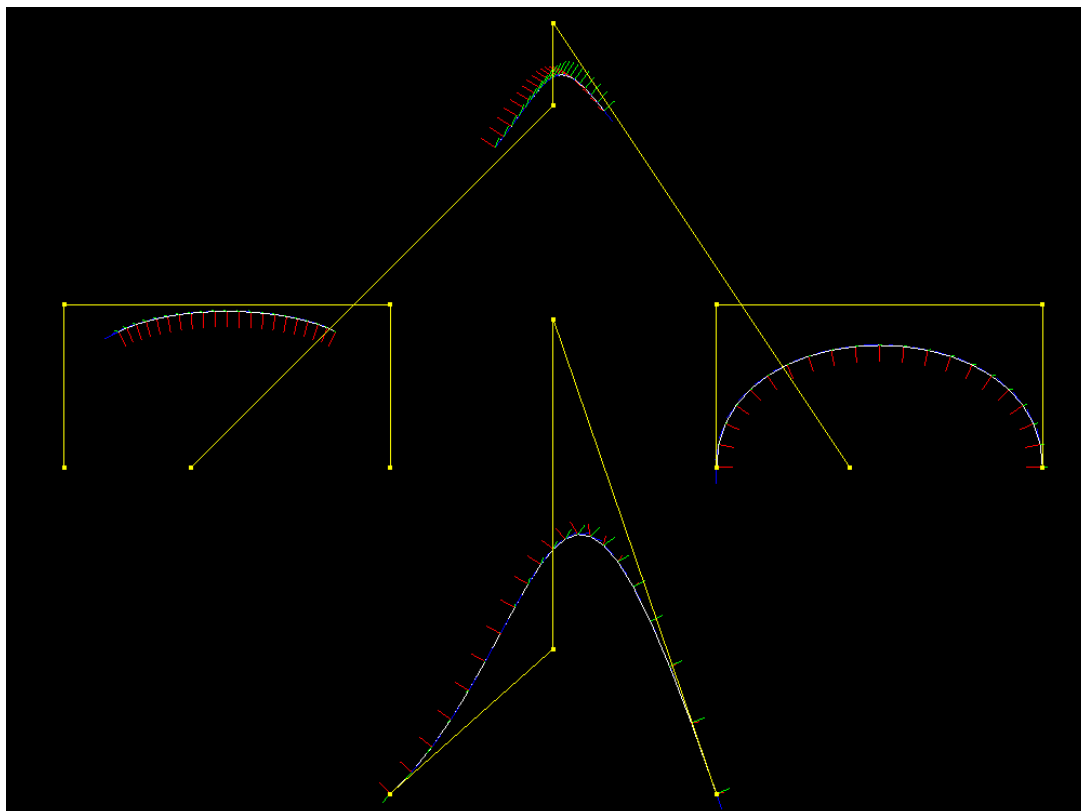
            B = Vector3f::cross(T, N);

            R.push_back({V, T, N, B});
        }

    return fixClosed(R);
}

```

用上面的代码绘制core.swp, 效果如图。



曲面绘制

旋转曲面的生成方式比较直观,即将曲线上每个点绕y轴旋转,并保持法向量与切向量垂直。绕y轴旋转变换的矩阵为 $M =$

$$R_y(\theta) = \begin{bmatrix} \cos \theta & 0 & \sin \theta & 0 \\ 0 & 1 & 0 & 0 \\ -\sin \theta & 0 & \cos \theta & 0 \\ 0 & 0 & 0 & 1 \end{bmatrix}$$

通常,法向量的变换矩阵为逆转置,即 $(M^T)^{-1}$,推导过程[附后](#)。

特别地,旋转变换的矩阵是行列式为1的正交矩阵,即特殊正交矩阵,有 $M = (M^T)^{-1}$ 。故法向量可以直接由 $M \times n$ 给出,无需使用 $(M^T)^{-1} \times n$ 。

据此写出旋转曲面的代码

```
Surface makeSurfRev(const Curve &profile, unsigned steps)
{
    if (!checkFlat(profile))
        throw "makeSurfRev: profile curve must be flat on xy plane.";

    constexpr float PI2 = 2 * 3.14159265358979323846f;
    Surface surface;
    for (unsigned j = 0; j <= steps; j++)
    {
        Matrix3f M = Matrix3f::rotateY(PI2 * j / steps);
        for (const auto &p : profile)
            surface.VV.push_back(M * p.V),
            surface.VN.push_back(M /*.inverse().transposed() */ * -p.N);
    }
    addTriangles(surface.VF, steps + 1, profile.size());
    return surface;
}
```

addTriangle用于定义朝外的三角形面元,应按照从外侧看逆时针的顺序给出各顶点。

```
void addTriangles(vector<Vec3u> &VF, size_t sweepSize, size_t curveSize)
{
    for (unsigned i = 0; i < (sweepSize - 1) * curveSize; i++)
    {
        if ((i + 1) % curveSize == 0)
            continue;
        VF.push_back({i, i + 1, i + curveSize});
        VF.push_back({i + 1, i + curveSize + 1, i + curveSize});
    }
}
```

广义圆柱体

与上类似, 只是把旋转变换矩阵 R_y 替换为扫描曲线的局部坐标系矩阵

$$M = \begin{bmatrix} N & B & T & V \\ 0 & 0 & 0 & 1 \end{bmatrix}$$

按照一般仿射变换的公式, 写出这样的代码

```
Surface makeGenCyl0(const Curve &profile, const Curve &sweep)
{
    if (!checkFlat(profile))
        throw "makeGenCyl: profile curve must be flat on xy plane.";

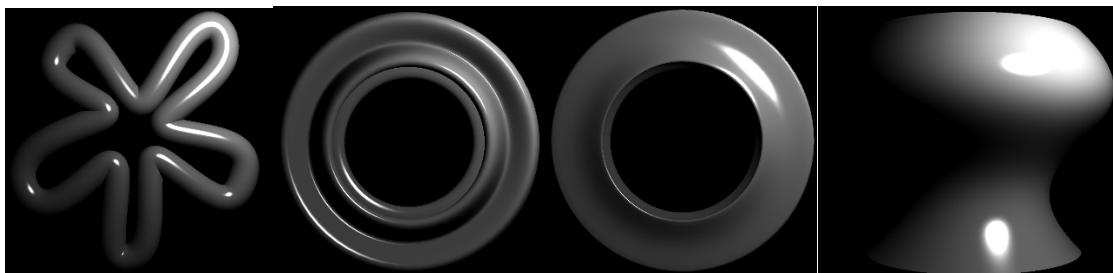
    Surface surface;
    for (unsigned i = 0; i < sweep.size(); i++)
    {
        Matrix4f M = {{sweep[i].N, 0}, {sweep[i].B, 0}, {sweep[i].T, 0}, {sweep[i].V, 1}};
        for (const auto &p : profile)
            surface.VV.push_back((M * Vector4f(p.V, 1)).xyz()),
            surface.VN.push_back(M.getSubmatrix3x3(0,0).inverse().transposed() * -p.N);
    }
    addTriangles(surface.VF, sweep.size(), profile.size());
    return surface;
}
```

注意到 $\begin{bmatrix} N & B & T \end{bmatrix}$ 也是一个旋转矩阵, 上面代码可以优化为

```
Surface makeGenCyl(const Curve &profile, const Curve &sweep)
{
    if (!checkFlat(profile))
        throw "makeGenCyl: profile curve must be flat on xy plane.";

    Surface surface;
    for (unsigned i = 0; i < sweep.size(); i++)
    {
        Matrix3f M = {sweep[i].N, sweep[i].B, sweep[i].T};
        for (const auto &p : profile)
            surface.VV.push_back(M * p.V + sweep[i].V),
            surface.VN.push_back(M * -p.N);
    }
    addTriangles(surface.VF, sweep.size(), profile.size());
    return surface;
}
```

绘制出的各种曲面如下。全部样例的图形见pictures文件夹。



附: 变换向量和余向量

10.12 变换向量和余向量

我们已经明确: E^2 中的点 $(x \ y)$ 对应 3D 空间中的向量 $[x \ y \ 1]^T$, 向量 $\begin{bmatrix} u \\ v \end{bmatrix}$ 对应 3D 空间中的向量 $[u \ v \ 0]^T$ 。如果采用 3×3 的矩阵 M (最后一行为 $[0 \ 0 \ 1]$) 进行 3D 空间变换:

$$T: \mathbf{R}^3 \rightarrow \mathbf{R}^3; \mathbf{x} \mapsto M\mathbf{x} \quad (10-95)$$

那么 T 在 $W=1$ 平面上的投影在 E^2 中也有对应的映象, 因此可以写成:

$$(T|E^2): E^2 \rightarrow E^2; \mathbf{x} \mapsto M\mathbf{x} \quad (10-96)$$

但是我们也注意到 T 可以作为一个变换向量, 或者是 2D 欧几里得空间中的位移, 它一般可以写为两个坐标, 但通常用 $[u \ v \ 0]^T$ 进行表示。因为这种向量的最后一个元素为 0, 所以 M 的最后一列对于向量的变换没有影响。我们并不计算

$$M \begin{bmatrix} u \\ v \\ 0 \end{bmatrix} \quad (10-97)$$

而是等价地计算

$$\begin{bmatrix} m_{1,1} & m_{1,2} & 0 \\ m_{2,1} & m_{2,2} & 0 \\ 0 & 0 & 0 \end{bmatrix} \begin{bmatrix} u \\ v \\ 0 \end{bmatrix} \quad (10-98)$$

所得结果的第三个元素为 0。事实上, 可以将这类向量当作 2 坐标的向量进行变换, 只需要做简单计算

$$\begin{bmatrix} m_{1,1} & m_{1,2} \\ m_{2,1} & m_{2,2} \end{bmatrix} \begin{bmatrix} u \\ v \end{bmatrix} \quad (10-99)$$

因为这个原因, 有时候我们说: 对于由矩阵 M 相乘表示的欧式平面上的仿射变换, 其向量的相关变换可以表示为

$$\overline{M} = \begin{bmatrix} m_{1,1} & m_{1,2} \\ m_{2,1} & m_{2,2} \end{bmatrix} \quad (10-100)$$

对余向量如何计算? 回想余向量的典型形式:

$$\phi_w: \mathbf{R}^2 \rightarrow \mathbf{R}; v \mapsto w \cdot v \quad (10-101)$$

这里 w 是 \mathbf{R}^2 中的某个向量。我们想采用同 T 一致的方法对 ϕ_w 进行变换。图 10-19 说明了为什么要这么做: 我们经常构建某个形状的几何模型, 并计算模型表面的法向量。假设 n 是一个表面法向量。对该几何模型实施“建模变换” T_M 将它放入 3D 空间, 我们希望知道变换后的模型表面的法向量, 以便计算光线 v 和表面法向的夹角, 称变换后的表面法向量为 m , 现欲计算 $v \cdot m$ 。那么变换后的法向量 m 与原模型表面的法向量 n 之间有何对应关系呢?

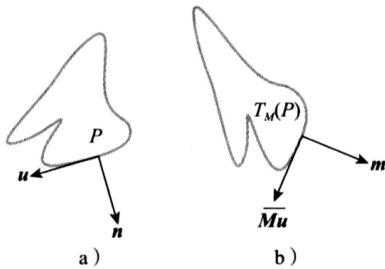


图 10-19 a) 采用某种建模工具构建的几何形体; 可计算得到点 P 的法向量 n 。向量 u 为点 P 处表面的切向; b) 该形体被放入场景中, 期间实施了平移、旋转和缩放。我们希望找到形体变换后 P 点的法向量 m , 且 m 与变换后的切向向量 \overline{Mu} 内积仍然为 0

根据表面法向的定义, 原始模型上的法向量 n 与通过该点与模型表面相切的每一向量 u 垂直。故新的法向量 m 也必须与所有变换后的切向量(与变换后模型表面相切)垂直。换句话说, 对于物体表面上每个切向量 u , 我们需要计算:

$$m \cdot \bar{M}u = 0 \quad (10-102)$$

实际上可以更进一步, 对于任意向量 u , 我们希望:

$$m \cdot \bar{M}u = n \cdot u \quad (10-103)$$

这就是说, 确保变换前某一向量和法向 n 之间的夹角同变换后该向量与 m 的夹角保持不变。

在求解之前, 让我们先来看下面一些例子, 对变换 T_1 , 与房子的底面垂直的向量(作为向量 n)变换之后应仍与变换后的房子底面垂直。这可通过将其旋转 30° 得到(见图 10-20)。

如果我们只是平移这栋房子, 和其他向量一样, 向量 n 并无变化。

但是当需要对房子进行错切变换时, 如实施变换 T_3 , 情况如何呢? 相应的向量变换仍然为错切变换, 它使一个垂直向量变为倾斜。但对向量 n 而言, 如果希望它仍然与房子底面保持垂直, 就不必做任何改变(见图 10-21)。在这种情况下, 我们看到, 在是否需进行变换方面, 余向量和向量存在不同之处。

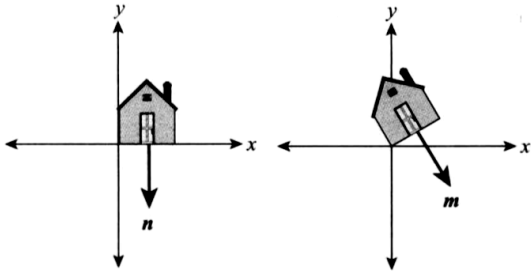


图 10-20 在形体旋转变换中, 法向量和
其他向量一样也发生旋转

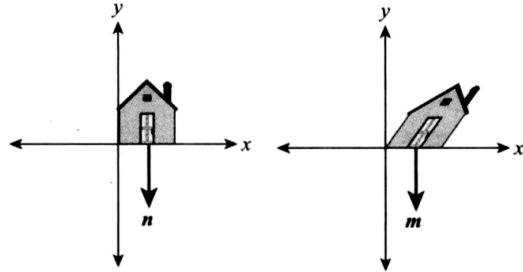


图 10-21 当房子的垂直面发生错切时,
房子底面的法向保持不变

现在回到我们的问题: 寻找一个向量 m , 对于每个可能的向量 u , 它满足:

$$m \cdot (\bar{M}u) = n \cdot u \quad (10-104)$$

为了使推导更明显, 交换向量的顺序, 得到:

$$(\bar{M}u) \cdot m = u \cdot n \quad (10-105)$$

由于 $a \cdot b$ 可以写作 $a^T b$, 上式可以改写为

$$(\bar{M}u)^T m = u^T n \quad (10-106)$$

而 $(AB)^T = B^T A^T$, 因此:

$$(\bar{M}u)^T m = u^T n \quad (10-107)$$

$$(u^T \bar{M}^T) m = u^T n \quad (10-108)$$

$$u^T (\bar{M}^T m) = u^T n \quad (10-109)$$

最后一步基于矩阵相乘的结合性质。最后一个等式相当于: 对于所有的向量 u , $u \cdot a = u \cdot b$, 此式当且仅当 $a=b$ 的时候才成立, 即

$$\bar{M}^T m = n \quad (10-110)$$

所以

$$m = (\bar{M}^T)^{-1} n \quad (10-111)$$

这里我们假设 \bar{M} 是可逆的。

因此我们可以得出: 余向量 ϕ_n 被变换为 $\phi_{(\bar{M}^T)^{-1}n}$ 。因为这个原因, 逆转置常常叫作余向量变换或法向变换(因其常用于法向量变换)。注意如果我们将余向量写作行向量, 则无需进行转置, 但是需要将行向量右乘 \bar{M}^{-1} 。

在通常数学表述中, 法向变换沿相反的方向: 取 T_M 陪域中一个法向量并生成定义域中的一个向量; 该伴随变换的矩阵为 M^T 。因为我们需要反向求解, 所以取该矩阵的逆。